

Hydrodynamique et rhéologie des tissus

Nous considérons dans ce cours les tissus de manière macroscopique et nous étudions l'effet de la division et de la mort cellulaire sur les propriétés mécaniques du tissu.

I. Hydrodynamique des tissus J. Rapp et al. PNAS 2011

1. Division cellulaire

On appelle n la densité des cellules. L'équation de conservation du nombre de cellules s'écrit $\frac{\partial n}{\partial t} + \nabla(n \cdot \vec{v}) = n[h_d(\vec{r}) - h_a(\vec{P})]$ où la taux de division et de mort cellulaire dépendent de la position locale. A long terme après une déformation, un tissu a une réponse élastique avec un module élastique similaire à celui des cellules $\mu = 1 \text{ kPa}$.

Quand une cellule se divise, elle exerce des forces sur ses voisines. La somme de ces forces est nulle et la cellule exerce un dipôle de force

$$\text{Le dipôle de force de la cellule } i \text{ est une densité de face } f_i = \left\{ \delta[\vec{r}_i - (\vec{r}_i + \vec{d}_i)] - \delta(\vec{r}_i \cdot \vec{f}_i) \right\} \text{ au point } \vec{r}_i$$

L'équilibre des forces par unité de volume s'écrit

$$\partial_\beta \sigma_{\alpha\beta}^e + \sum_i f_\alpha^i \left\{ \delta[\vec{r}_i \cdot (\vec{r}_i + \vec{d}_i)] - \delta(\vec{r}_i \cdot \vec{f}_i) \right\} = 0 \quad \text{où la somme se fait}$$

sur toutes les cellules en train de se diviser et le premier terme est la contrainte élastique due à la déformation élastique. A une échelle de taille plus grande que celle de la cellule, on peut considérer que \vec{d} est petit et faire un développement

$$f_\alpha^i \left\{ \delta[\vec{r}_i \cdot (\vec{r}_i + \vec{d}_i)] - \delta[\vec{r}_i - \vec{f}_i] \right\} = - f_\alpha^i \partial_\beta \delta(\vec{r}_i \cdot \vec{r}_i) d_\beta^i$$

On définit le tenseur de densité de dipôle de force $M_{\alpha\beta} = \sum_i f_\alpha^i d_\beta^i$ $\delta(\vec{r}_i \cdot \vec{r}_i)$. Ce tenseur est symétrique parce que au niveau de deux cellules le dipôle de force $f_\alpha^i d_\beta^i - f_\beta^i d_\alpha^i$ doit être symétrique pour que la cellule ne soit pas soumise à un couple.

d'équilibre des faces s'écrit $\Omega_\alpha (\Omega_{\alpha\beta}^{\text{el}} - M_{\alpha\beta}) = 0$: On peut donc définir une contrainte totale $\Omega_{\alpha\beta}$ qui contient l'effet de la division cellulaire $\Omega_{\alpha\beta}^{\text{el}} = \Omega_{\alpha\beta} + \Omega^{\text{in}}$ où la contrainte intérieure due à la division cellulaire est $\Omega^{\text{in}} = -M_{\alpha\beta}$. Il existe de la même façon une contrainte due aux disfèbres $\alpha\beta$ de la face associée à la matrice cellulaire.

Dans la matrice nous décomposons toutes les tensions en une partie extérieure et une partie interne trace $\Omega_{\alpha\beta} = \Omega_{\alpha\beta}^{\text{el}} + \tilde{\Omega}_{\alpha\beta}$ où la trace $\tilde{\Omega}_{\alpha\alpha} = 0$. La partie extérieure de la contrainte $\Omega_{\alpha\beta}^{\text{el}}$ est l'opposé de la pression. Nous étudions dans un tissu successivement la pression σ et le déplacement $\tilde{\Omega}_{\alpha\beta}$.

2. Contrainte intérieure

Nous décomposons la contrainte extérieure $\sigma = \sigma^{\text{el}} + \sigma^{\text{in}}$ la contrainte élastique σ^{el} est reliée au module de compression $\sigma^{\text{el}} = K_{\text{app}} + K \frac{\delta V}{V}$ où δV est la déformation $\delta V = \frac{1}{2} (\partial_x u_p + \partial_p u_x)$, u étant le déplacement de chaque point du tissu.

Rq : Problème de définition de $\tilde{\Omega}$ à cause de la division et de la matrice cellulaire (voir cours de l'an dernier)

En dérivant par rapport au temps $\frac{d}{dt} \sigma^{\text{el}} = K \frac{d}{dt} u_{rr}$. La dérivée de $\tilde{\Omega}$ est la vitesse \tilde{v} .

Le tenseur des gradients de vitesse est $\Omega_{\alpha\beta} = \frac{1}{2} (\partial_\alpha v_\beta + \partial_\beta v_\alpha)$ et $\tilde{v} \cdot \tilde{v} = v_{rr}^2$.

La contrainte intérieure est mal définie parce qu'elle change avec la division et la matrice cellulaire. Nous écrivons sa dérivée

(Rq: $\frac{d\Omega^{\text{in}}}{dt} = -m \{ h d m_d + h_m m_a \}$. Le premier terme est dû à la division cellulaire et le second à la matrice cellulaire m_d est la composante extérieure moyenne du tenseur de défèbre de face d'une cellule : m_d est positif. De même m_a est négatif pour l'hypothèse.

Si il y a une équation d'état, $\sigma(n)$, (ce qui n'est pas tout à fait évident alors $h = -m \frac{dn}{dt}$ et $\frac{d\sigma}{dt} = -K \frac{dn}{dt}$). On peut écrire $\frac{dn}{dt}$ à partir

de l'équation de conservation $\frac{dn}{dt} + n(\vec{v} \cdot \vec{\nabla}) = (hd - ha)n$. Ce qui donne $\frac{dn}{dt} = -h(hd - ha) + h\nu_{yy}$. On peut calculer directement $\frac{dn}{dt}$ en ajoutant les deux composantes $\frac{dn}{dt} = h\nu_{yy} - n(hd_m + ha_m)$.

En identifiant les deux résultats $h(hd - ha) = n(hd_m + ha_m)$. Dans l'état homéostatique $hd = P_h$, donc $m_a = -m_d$ et $h = m_d$. Ce qui est cohérent car après une division et une ajouture la tension doit se retrouver dans le même état.

À la nonlinéarité de l'état homéostatique $hd - ha = \frac{1}{5}(P_h - P) = \frac{1}{5}(C)$ + P_h). Si on introduit $\bar{\sigma} = \sigma + P_h$

$$\frac{d\bar{\sigma}}{dt} = \frac{\partial \bar{\sigma}}{\partial t} + (\vec{v} \cdot \vec{\nabla}) \bar{\sigma} + \underbrace{\frac{h}{5}}_{1/T} \bar{\sigma} = h\nu_{yy}. \text{ En extrayant } T = \frac{5}{h}$$

qui est le temps de relaxation de la pression vers l'état homéostatique $P = P_h$. On trouve une équation de Maxwell. Cette équation de Maxwell n'est pas classique car c'est la composante isotrope de la contrainte qui relaxe ce qui veut dire qu'en dessous dans son état homéostatique cette pression est compressible. **Figure M. Baran** et cela dans "fine tuning" des paramètres comme à un point critique.

3. Contrainte transversale (de cisaillement pur)

On utilise la même stratégie pour la partie sans trace de la contrainte qui est le cisaillement pur  $\tilde{\sigma}_{\alpha\beta} = \tilde{\sigma}_{\alpha\beta}^d + \tilde{\sigma}_{\alpha\beta}^u$.

Il faut introduire la composante sans trace de la déformation $\tilde{\epsilon}_{\alpha\beta} = \mu_{\alpha\beta} - \frac{1}{d} S_{\alpha\beta} u$ ($u = u_{yy}$) $\frac{d\tilde{\epsilon}_{\alpha\beta}}{dt} = \tilde{\nu}_{\alpha\beta} = (\tilde{\epsilon}_{\alpha\beta} - \frac{1}{d} u)$
 $\tilde{\sigma}_{\alpha\beta}^d = L\mu \tilde{\epsilon}_{\alpha\beta}$ où μ est le module de cisaillement et $\frac{d\tilde{\sigma}_{\alpha\beta}^d}{dt} = L\mu \frac{d\tilde{\epsilon}_{\alpha\beta}}{dt}$

Il faut maintenant écrire $\frac{d\tilde{\sigma}_{\alpha\beta}^u}{dt}$ c'est en tant que de trace nulle. Si les cellules sont bâtonnées orientées dans la direction $\hat{n}(r)$ le seul terme de trace nulle est $\sigma_{\alpha\beta} = \langle p_{\alpha} p_{\beta} - \frac{1}{d} S_{\alpha\beta} \rangle$ où la moyenne sur une moitié bâton (quantification de la division cellulaire par la contrainte)

$q_{\alpha\beta}$ est la tension d'ordre néostatique et s'annule si la cellule n'est orientée de manière aléatoire. Si $q_{\alpha\beta} \neq 0$ il y a une contrainte $\tilde{\sigma}_{\alpha\beta}$ normale qui oriente la division et $q_{\alpha\beta} = \tilde{\sigma}_{\alpha\beta}/h_d$. Nous supposons dans cette section que σ_0 est positif, la division cellulaire est orientée dans la direction de $\tilde{\sigma}_{\alpha\beta}$. Comme pour la partie isotrope on écrit $\frac{d\tilde{\sigma}_{\alpha\beta}}{dt} = -m q_{\alpha\beta} [hd\tilde{\sigma}_d + ha\tilde{\sigma}_a]$

Rq m de $q_{\alpha\beta}$ est le dipôle de forces dû à la division $\tilde{\sigma}_{\alpha\beta}$ et m_d est la valeur propre positive de ce tenseur⁽¹⁾. Le signe - est le même que celui qui relie σ^{in} à M $\sigma^{in} = -M$. Il est dû au fait que le dipôle de force d'une cellule est défini à partir de la force que la cellule exerce sur les voisines alors que la contrainte mesurée par force que les voisines exercent sur la cellule (+ à un coefficient néostatique $\mu_{\alpha\beta}$).

$$\text{Au total on trouve } \frac{d\tilde{\sigma}_{\alpha\beta}}{dt} + \frac{\tilde{\sigma}_{\alpha\beta}}{T_t} = 2\mu\tilde{\sigma}_{\alpha\beta} \text{ où } T_t = \frac{\sigma_0}{m(hd\tilde{\sigma}_d + ha\tilde{\sigma}_a)}$$

Un tissu est donc un fluide viscoélastique de Maxwell avec un temps de relaxation $T_t \approx 1/\mu$ de l'ordre des temps de division cellulaires^(1,j). La viscosité du couplage est donnée par la formule de Maxwell $\eta = \mu T_t \approx 1/h_d$ (dans l'état homéostatique) Simulation J. Elgot

$$\eta = \frac{\eta_0}{1 - i\omega T}$$

En conclusion à longs temps devant le temps de division cellulaire un tissu se comporte comme un fluide avec une viscosité de cisaillement η et une viscosité élongationnelle ζ . Si le tissu est incompressible $\nabla \cdot \tilde{\sigma} = hd \cdot ha = \frac{\sigma + Ph}{\zeta} = \frac{\bar{\sigma}}{\zeta}$. Le temps de relaxation $T = \frac{\zeta}{\kappa}$ $K \rightarrow 0$

II Activité des tissus

1. Contrainte active

J'ai supposé dans la section précédente que σ_0 et $\tilde{\sigma}_d$ sont positifs c'est à dire que le tissu s'aligne dans le sens de la contrainte. Si σ_0 est négatif T_t est négatif et le tissu est instable. Il y a alors même si $\tilde{\sigma}_{\alpha\beta} = 0$ une orientation $q_{\alpha\beta}$ spontanée

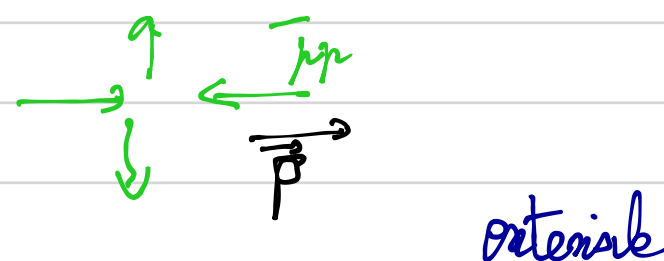
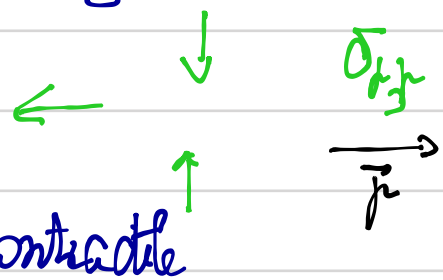
Rq L'orientation $q_{\alpha\beta}$ peut avoir été créée par un gradient de magnétisme

Dans ce cas, une contrainte finie dans le tissu modifie l'ordre thermodynamique et à l'ordre linéaire $\tilde{\sigma}_{\alpha\beta} = \bar{\sigma}_0 (q_{\alpha\beta} - q^0_{\alpha\beta})$ (avec celle que $\bar{\sigma}_0 > 0$)

On peut reproduire le calcul précédent avec $q_{\alpha\beta} = q^0_{\alpha\beta} + \frac{\tilde{\sigma}_{\alpha\beta}}{\bar{\sigma}_0}$. On trouve alors $\frac{d\tilde{\sigma}_{\alpha\beta}}{dt} + \frac{\tilde{\sigma}_{\alpha\beta}}{\bar{T}_T} = -\mu \tilde{\sigma}_{\alpha\beta} - n (\tilde{m}_d \tilde{m}_d + \tilde{m}_a \tilde{m}_a) \frac{\tilde{\sigma}_0}{\bar{\sigma}_0} q_{\alpha\beta}$

$$\text{soit } \bar{T}_T \frac{d\tilde{\sigma}_{\alpha\beta}}{dt} + \tilde{\sigma}_{\alpha\beta} = -n \mu \tilde{\sigma}_{\alpha\beta} - \bar{\sigma}_0 q_{\alpha\beta}$$

Le deuxième terme est ce que nous avons appelé la contrainte active ($\bar{\sigma}_a = -n \mu \tilde{\sigma}_{\alpha\beta}$). Cette contrainte active a 3 valeurs propres : $-\frac{\bar{\sigma}_0}{3}$ le long de $\vec{\mu}$ et $\pm \frac{\bar{\sigma}_0}{3}$ dans les deux directions perpendiculaires



Rq la contrainte active est une contrainte non-équilibrée non autorisée par la thermodynamique

2. Tissus contractiles ou extensiles

La contrainte active dans le tissu est $\bar{\sigma}_a = -\bar{T}_T (\tilde{m}_d \tilde{m}_d + \tilde{m}_a \tilde{m}_a) n$

En supposant $\tilde{m}_d \geq 0$ la contrainte active est contractile



Le décalage de force d'une cellule tend à étirer la

cellule qui se durcit. Rq $\tilde{\sigma}_{\alpha\beta}^i \sim -\tilde{m}_{\alpha\beta} = -\tilde{m}_d q_{\alpha\beta}$ est bien négatif. On considère ici que la durcissement domine par rapport à l'apoptose et dans ce cas la contrainte active est extensible.

Il y a dans la littérature un débat sur le signe de la contrainte active dans les tissus sur la base de simulations et d'expériences. Beaucoup de simulations montrent que les tissus ont une contrainte active

extensible. Mais les cellules elles-mêmes ont une contrainte active contractile. Les travaux de Julia Yeomans montrent que la division cellulaire limite leur extensibilité. Elle crée une division cellulaire dans la tension à 2 dimensions en accroissant la densité locale. Cela renforce l'ordre régulière et crée un champ de vitesse similaire à celui d'un dipôle de force extensible qui est assez similaire à celui obtenu dans des expériences de B.Labois avec Rosen et al. *Nat Com*

Elle considère ensuite un tissu dont les cellules sont contractiles, et un tissu dont les cellules sont extensibles dans un régime de "turbulence" active. Les divisions augmentent la "turbulence" dans le cas extensible et la diminuent dans le cas contractile.

Exemples d'expériences qui montrent que les tissus sont extensibles Dell' *Anticipate Nat Com 2018* (bacterial colonies) mais aussi contractiles *G.Duclos Nat Phys 2017*

Une autre source de contrainte active extensible a été proposée récemment par M. Bourdieu et C. Marchetti (*Vafa et al. 2011*) pour des couches épidémiques mécaniques sur un substrat. Ils étudient le champ de vitesse dans le tissu dues aux fluctuations de la traction du substrat

$$\gamma \vec{v} = \eta \nabla^2 \vec{v} - \vec{\nabla} P + \vec{\nabla} \sigma_{\alpha\beta}^{\text{act.}} + \vec{f} \quad \text{où } \sigma_{\alpha\beta}^{\text{act.}} \text{ est la contrainte active } \sigma_{\alpha\beta}^{\text{act.}} = -5\mu q_\alpha \beta \text{ due aux cellules qui sont contractiles.}$$

Il faut coupler cette équation à l'équation d'évolution du tenseur d'orientation $q_{\alpha\beta}$ et à l'équation de la face fluctuante qui a la forme

$$(\partial_t + \vec{v} \cdot \vec{\nabla}) \vec{z} = -\vec{f} + \vec{\xi} \quad \text{où } \vec{\xi} \text{ est un bruit blanc de moyen.}$$

me nul et tel que $\langle \vec{\xi}_\alpha(t) \vec{\xi}_\beta(t') \rangle = \delta(t-t') [q_{\alpha\beta} K + A S_{\alpha\beta}]$

(on joint la symétrie). A cause du terme non-linéaire d'advection la force de traction moyenne n'est pas nulle

$$\langle f_\alpha \rangle = \sigma_{\beta\alpha} [\alpha_f q_{\alpha\beta}] \quad \text{où } \alpha_f = -\frac{K z^2}{8\pi\eta} \log \frac{lu}{a} \quad lu = \sqrt{m_y}$$

est la longueur de friction (cf cours sur la viscosité dans les polymères) Il y a donc une contrainte active effective $\sigma_{\alpha\beta}^{\text{act.}} = \alpha_f q_{\alpha\beta} < 0$ qui est toujours extensible si $l > 0$

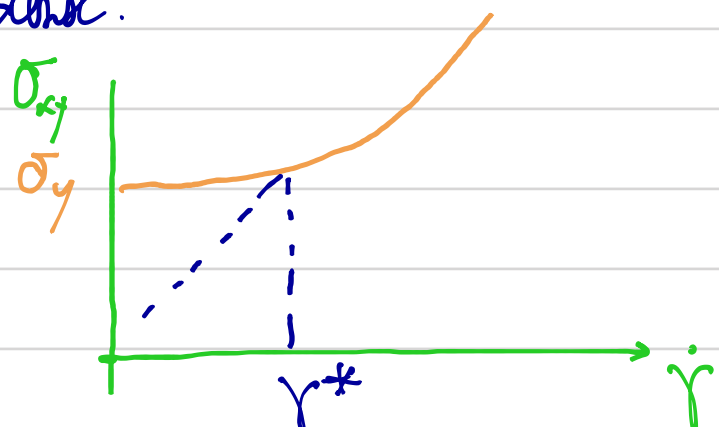
Dans tous les cas la contrainte active dans un tissu est le somme d'une contrainte extérieure due à la division cellulaire (ou aux fluctuations des forces de traction) et de la contrainte active contractile due au cytosquelette d'acto-myosine. Et il n'y a pas de règle générale sur le signe de la contrainte active G. Dudo, P.

Silbeyan : Nature Physics 2019. La contrainte active est contractile si on étudie le mouvement des disjonctionnais mais contractile si on étudie les mouvements spontanés dans une buse de tissu (transition de Friedeck voir le cours de 2019).

III Rhéologie non-linéaire des tissus

Nous voulons étudier maintenant l'effet des contraintes faites sur le comportement d'un tissu

1. Seuil de flUAGE et rhéomimétisme J. Elgeti, JL Bonet et al les simulations numériques prenant en compte les cellules permettent d'étudier la rhéologie des tissus. Un premier type de simulation consiste à faire croître un tissu près à scryper la division et la mort cellulaire. On étudie dans ce cas un matériau liquide qui ressemble à une mousse ou à une solution colloïdale de particules molles très dense.



Il y a un seuil de flUAGE puis la contrainte croît comme une loi de puissance

$$\mathbf{\bar{T}_{xy}} = \mathbf{T_y} + k \gamma^n \quad n \approx \frac{1}{2}$$

Modèle de Herschel-Bulkley

En ajoutant la division et la mort cellulaire, dans un état homogène, la contrainte seuil décroît à très rapidement. Si $\gamma < \gamma^*$
 $\mathbf{\bar{T}_{xy}} = \eta \dot{\gamma}$ et si $\dot{\gamma} \geq \dot{\gamma}^*$ on retrouve le modèle de Herschel-Bulkley
 $\gamma^* \sim \eta a = \eta d$ et $\eta \sim \frac{1}{\eta a}$. Les constantes sont ajustées par un modèle de Héraud et Lequeux PRL 1998. Pour les suspensions denses

qui ont un modèle plastique. Ce modèle étudie les fluctuations de contrainte avec 2 types de bruit : un bruit plastique qui décrit les réarrangements locaux qui relâchent la contrainte et un bruit actif.

A l'aile circulaire, un tissu dans l'état homéostatique est un fluide visco-élastique avec une viscosité $\eta \approx 1/\text{h} \approx 1/\text{ha}$ et a plus fort cisaillement c'est un milieu rhéoamincissant dans ceul de fluage (en accord avec les expériences)

Dans un autre article Soft Matter 2017, les auteurs construisent un diagramme de phase du tissu. La simulation n'a que 3 paramètres

- taux d'apoptose $k_a = a$ constant
- un taux de divisions qui dépend du nombre de voisins d'une cellule $d = d_0(1 - \frac{1}{n})$

- une force d'adhésion entre cellules E

Le diagramme de phase est fait dans un plan $(E, \frac{a}{d_0})$

Si $\frac{a}{d_0} > 1$ il n'y a pas d'état de tissus ($\frac{a}{d_0}$) les cellules meut plus que elles ne se divisent en patine à cause des corrélations entre les divisions cette limite est à $\frac{a}{d_0} \leq 1$

A plus faible valeur de $\frac{a}{d_0}$ le tissu est gorgé (non confluant)

A forte adhésion il y a d_0 un transition vers un état liquide (self-melting) et à forte adhésion il y a un état intermédiaire gel qui n'est pas confluant (avec des trous)

En étudiant l'auto-diffusion les auteurs concluent qu'il n'y a aucune trace d'état précédent dès qu'il y a de la division cellulaire. (cest la diffusion anormale immédiatement après la division). Ils disent aussi que tous les états vécus depuis dans les modèles de vertex (L. Manning) ignorent la division cellulaire

Oleg Campas Monge Nature 2018 a étudié l'elongation de l'axe antéro-postérieur du corps du poisson zebre au cours du développement

préservant les propriétés mécaniques. IP étudie la partie antérieure du tissu la zone mesodermique prégenitice MPZ et la partie postérieure le mesoderme prémitique PSM. Le corps s'allonge par addition de somites O. Parquier (l'Euronet), A. Oates. La mesure des contraintes est faite en imposant dans le tissu des gouttes de ferrofluides qui sont déformées par un champ magnétique et dont ils mesurent la relaxation. Si le tissu est fluide en supposant le champ, la goutte relaxe vers une forme sphérique. Si le tissu a une contrainte de fluage σ_y , la goutte de la goutte relaxe si la contrainte capillaire σ_c est plus grande que la contrainte de fluage σ_y .

La contrainte de fluage est grande dans le PSM et petite dans la MPZ. Le tissu est fluide dans la MPZ et plastique dans le PSM. Les auteurs concluent qu'il y a une transition de geloirs (encombrement ou blocage entre ces deux régions). En supposant les cadres, la contrainte de fluage décroît fortement. Dans le PSM la relaxation de la contrainte n'est pas due à la division cellulaire mais avec échanges entre voisins les processus T_1 que nous avons discuté dans le cours de l'année dernière. Les échanges entre voisins créent des fluctuations de contrainte plus faible que σ_y dans le PSM et plus grande dans la MPZ.

Rq. Ce résultat n'est pas incompatible avec les résultats de Sancat et Elgot car il n'y a pas de division cellulaire dans le PSM.

Autre étude S. Garcia et al 2015 PNAS Cellules mesenchymateuses HSEC. A cause de la division cellulaire la densité augmente avec le temps et la vitesse quadratique moyenne diminue

$$(1) \underline{Rg} \text{ Diff de face } \begin{pmatrix} \sqrt{d} & 0 & 0 \\ 0 & 0 & 0 \end{pmatrix} = \sqrt{d} \begin{pmatrix} \frac{1}{3} & \frac{1}{3} & 0 \\ 0 & \frac{1}{3} & \frac{1}{3} \\ 0 & 0 & \frac{1}{3} \end{pmatrix} + \sqrt{d} \begin{pmatrix} \frac{2}{3} & -\frac{1}{3} & 0 \\ 0 & -\frac{1}{3} & \frac{1}{3} \\ 0 & 0 & -\frac{1}{3} \end{pmatrix}$$

$m_d = \bar{m}_d + m_g$ il y a aussi une contribution isotrope due à la croissance

Même dans l'état homogène il n'y a pas de relation directe entre \bar{m}_d et m_g . En fait m_g pourrait être très petit.

(2) La division n'est pas la seule source de relaxation de la contrainte cf F. Lequeux, A. Knaebel "Polymer gels and Networks 1997 Gels hydratants"

(3) Orientation de la division cellulaire par la contrainte M. Pié, M. Barnes.

